

## (32) 高炉炉床における湯面形状の検討

(高炉下部ガス流れの冷間模型実験-第3報-)

住友金属中央技術研究所

○羽田野道春  
竹内正興  
栗田

## I. 緒言

高炉の大型化、高圧化に伴ない、出鉄荒れ現象が多発するようになり、出鉄時における炉内圧と残鉄滓の管理が問題になっている。炉内圧の分布はガス流れの分布によって決定され、これが同時に湯面レベルの形状をも支配していると考えられる。この観点から、冷間模型及び理論解析により、湯面形状に及ぼす諸因子の影響を検討した。

## II. 実験装置及び結果

実験は  $1000\text{mm} \times 500\text{mm} \times 45\text{mm}$  の透明アクリル製平板模型を用い、充填物にはアルミ球（径3, 5,  $7\text{mm}\phi$ ）を使用した。羽口径は  $18\text{mm}\phi$  とし、Reynolds 数  $5 \times 10^4 \sim 2 \times 10^5$  の範囲で実験を行なった。液体としては水及び水+グリセリン系を用い、動粘性を可変とした。さらに出鉄をしている時としている時の比較も行なった。

出鉄をしていない場合の実験結果の一例を次に示す。

- 平均湯面レベルが高いほど、また風量の多いほど湯面の傾きは大きい。（Fig. 1）
- 炉床に存在するコーカスの粒子径が小さいほど、湯面の傾きは大きい。（Fig. 2）
- 湯面レベルが高く、かつその傾きが大きいほど、送風を中止した場合における羽口への液体逆流が起き易く、現場のノロ逆流現象と一致している。

等の事実が明らかになった。

## III. 理論検討

以上の実験結果を、高炉内ガス流れに関する数式モデルによりシミュレーションすることを検討した。

基礎式としては、Forchheimer の式を用い、流れの関数  $\Psi$  により、次式を導入した。

$$\frac{\partial P}{\partial X} = - \left\{ a \sqrt{\left( \frac{\partial \Psi}{\partial X} \right)^2 + \left( \frac{\partial \Psi}{\partial Y} \right)^2} + \frac{b}{Re} \right\} \frac{1-\varepsilon}{\varepsilon} \frac{1}{Dr} \frac{\partial \Psi}{\partial Y}$$

$$\frac{\partial P}{\partial Y} = - \left\{ a \sqrt{\left( \frac{\partial \Psi}{\partial X} \right)^2 + \left( \frac{\partial \Psi}{\partial Y} \right)^2} + \frac{b}{Re} \right\} \frac{1-\varepsilon}{\varepsilon} \frac{1}{Dr} \frac{\partial \Psi}{\partial X}$$

$P$ : 圧力 ( $\text{kPa}/\text{m}^2$ )  $\varepsilon$ : 空隙率 (-)  $Dr$ : 粒子径 ( $m$ )

$Re$ : レイノルズ数 (-)  $a, b$ : 常数

レースウェイの境界条件、および常数  $a, b$  については、実験値を採用した。

このモデルにより、送風量  $1000\text{l/min}$ 、粒子径  $3\text{mm}\phi$  平均湯面レベル  $20\text{cm}$  の場合における湯面形状をシミュレーションした結果を Fig. 2 中の黒丸曲線で示す。

実測値と理論値は、ほぼ一致している。

## IV. 結言

高炉炉床における湯面形状に及ぼす各因子の影響を、冷間模型と理論解析により検討した。

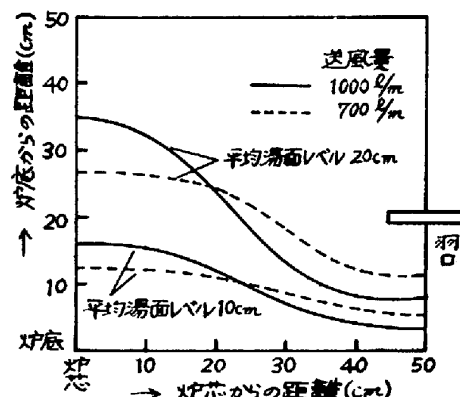


Fig. 1 湯面形状と送風量の関係  
(充填物 3% Al球)

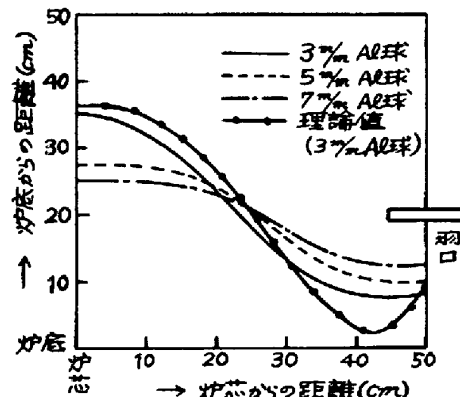


Fig. 2 湯面形状と充填物の大きさの関係  
(送風量 1000 l/min, 平均湯面レベル 20 cm)